

**Михайловський В.Я., Кузь Р.В., Лисько В.В.,
Максимук М.В., Мочернюк Р.М.**

Інститут термоелектрики НАН і МОН України,
вул. Науки, 1, Чернівці, 58029, Україна

ТЕРМОЕЛЕКТРИЧНІ ГЕНЕРАТОРНІ МОДУЛІ З МАТЕРІАЛІВ НА ОСНОВІ *n-InSe* та *p-PbTe* ДЛЯ ДІАПАЗОНУ РОБОЧИХ ТЕМПЕРАТУР 30-500°С

*Наведено результати комп'ютерних та експериментальних досліджень термопарних генераторних модулів з матеріалів на основі *InSe* та *PbTe* для використання у термоелектричних перетворювачах енергії, рівень температур гарячої сторони яких досягає ~ 500°С. Шляхом застосування комп'ютерних методів, що ґрунтуються на теорії оптимального керування, визначено оптимальні умови, за яких досягається максимальна потужність та ККД модулів з *InSe* та *PbTe*. Проектування здійснено з урахуванням температурних залежностей параметрів матеріалів, теплових і електричних втрат на контактах і комутації модуля.*

Ключові слова: комп'ютерне проектування, генераторні модулі, ефективність, термоелемент.

*This paper gives the results of computer and experimental studies of thermocouple generator modules of *InSe* and *PbTe*-based materials to be used in thermoelectric power converters for the hot temperature level ~ 500°С. Computer methods based on optimal control theory are used to determine optimal conditions whereby maximum power and efficiency of *InSe* and *PbTe* is achieved. Design is performed with regard to temperature dependences of material parameters, thermal and electric losses on the contacts and module interconnects.*

Key words: computer design, generator modules, efficiency, termoelement.

Вступ

Для створення односекційних генераторних модулів на рівні гарячих температур 500°С традиційно використовують матеріали на основі *n-PbTe* та *p-GeTe-AgSbTe* (TAGS) [1, 2]. Максимальна ефективність таких модулів знаходиться в межах 8-8.5 % [3]. Проте стримуючим фактором для їх масового застосування є висока вартість вихідних компонентів TAGS [4]. У зв'язку з цим актуальними стають дослідження, спрямовані на створення термоелектричних модулів з інших матеріалів [5-8].

Серед альтернативних термоелектричних матеріалів для роботи в середньотемпературному діапазоні матеріали на основі *InSe* привертають увагу дослідників завдяки низькій теплопровідності і високому коефіцієнту Зеебека [9]. Крім того вартість індію та селену приблизно в 3-4 рази є нижчою за вартість компонентів TAGS: германію, телуру, срібла та сурми [10]. Однак у більшості випадків *InSe* застосовують у вигляді тонких плівок для виготовлення фотоелектричних пристроїв. Результати розробки і створення термоелементів на основі об'ємних матеріалів *InSe* в літературі відсутні.

Мета нашої роботи – комп'ютерне проектування і створення термоелектричних модулів з матеріалів на основі *n-InSe* – *p-PbTe* та експериментальні дослідження їх характеристик.

Фізична модель термоелектричного генераторного модуля та її опис

Термоелектричний генераторний модуль складається із серії однакових пар термоелектричних віток, які з'єднані між собою електрично – послідовно і термічно – паралельно. Враховуючи це, у цій роботі для проектування термоелектричного генераторного модуля розглядається одна структурна одиниця модуля – термоелемент. Модель термоелемента наведено на рис. 1. Вона містить вітки *n*- та *p*-типу провідності (1), комутаційні мідні пластини (2), ізоляційні керамічні пластини (3). В моделі враховано контактний шар (4) між вітками та комутаційними пластинами. Гаряча і холодна поверхні термоелемента знаходяться за постійних температур T_{hot} і T_{cold} відповідно.

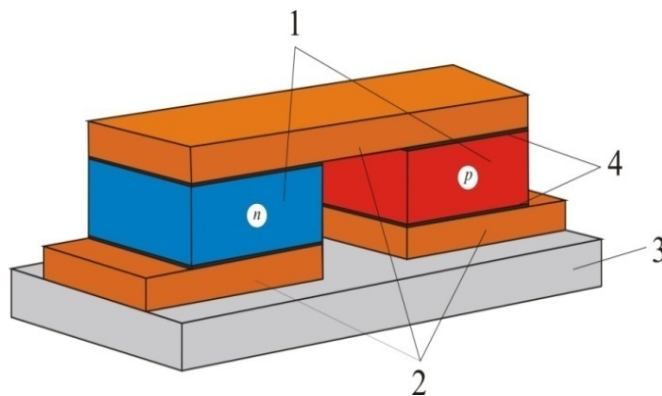


Рис. 1. Модель термоелемента.

1 – вітки термоелемента, 2 – комутаційні пластини, 3 – кераміка,
 4 – контактні шари.

Параметри термоелектричних матеріалів, електричної комутації і комутаційних пластин є функцією температури. $\alpha_n(T)$, $\alpha_p(T)$ – коефіцієнти термоЕРС матеріалів віток *p*- і *n*- типів провідності. $\sigma_n(T)$, $\sigma_p(T)$ – питома електропровідність матеріалів віток; $\kappa_n(T)$, $\kappa_p(T)$ – питома теплопровідність матеріалів віток; $\sigma_{con}(T)$, $\kappa_{con}(T)$ – електропровідність і теплопровідність матеріалу комутації; $\kappa_{ins}(T)$ – питома теплопровідність керамічної пластини.

Контакти термоелектричних віток з комутаційними пластинами характеризуються величиною контактного електричного опору $r_c(T)$, яка також є функцією температури. Об'єм між вітками заповнений повітрям з теплопровідністю κ_{air} . У цьому повітряному просторі відбувається теплообмін між гарячою і холодною керамічними пластинами.

Максимальна ефективність термоелектричного модуля описується таким виразом

$$\eta = \frac{Q_h - Q_c}{Q_h} = 1 - \varphi, \quad (1)$$

де Q_c , Q_h – зовнішні потоки тепла на холодній і гарячій поверхнях генераторного модуля відповідно.

Функцію $\varphi = \frac{Q_c}{Q_h}$ можна розглядати як мінімізуючий функціонал поставленого завдання. Далі необхідно здійснити перехід до еквівалентного логарифмічного функціоналу $J = \ln \varphi$,

$$J = \ln q_c - \ln q_h, \quad (2)$$

де

$$q_c = \frac{Q_c}{nI}, \quad q_h = \frac{Q_h}{nI}, \quad (3)$$

q_c , q_h – питомі потоки тепла відповідно на холодних і гарячих спаях термоелемента, n – кількість термоелементів, I – сила струму, що проходить через термоелемент.

Для обчислення граничних потоків тепла q_c і q_h , використовується система чотирьох диференціальних рівнянь нерівноважної термодинаміки

$$\left. \begin{aligned} \frac{dT(x)}{dx} &= -\frac{\alpha(T)j}{\kappa(T)}T(x) - \frac{j}{\kappa(T)}q(x) \\ \frac{dq(x)}{dx} &= \frac{\alpha(T)^2 j}{\kappa(T)}T(x) + \frac{\alpha(T)j}{\kappa(T)}q(x) + \frac{j}{\sigma(T)} \end{aligned} \right\}_{n,p}, \quad (4)$$

де x – безрозмірна координата, $0 \leq x \leq 1$, $j_{n,p} = \frac{Il}{S_{n,p}}$ – питома густина струму у вітках термоелементів,

індекси n, p – відносяться до електронної та діркової провідності віток термоелемента, відповідно.. Граничні умови для системи (4) мають вигляд:

$$T(0) = T_{cold} + \delta T_c, \quad T(1) = T_{hot} - \delta T_h, \quad (5)$$

де втрати в перепадах температур на керамічних і комутаційних пластинах δT_c і δT_h визначаються [11] з урахуванням різниці параметрів матеріалів кераміки і комутації на холодній і гарячій сторонах:

$$\left. \begin{aligned} \delta T_c &= -\frac{q_c}{l \left(\frac{1}{j^n} + \frac{1}{j^p} \right)} \left(\frac{d_{ins}}{\kappa_{ins}(T_{cold})K_{ins}} + \frac{d_{con}}{\kappa_{con}(T_{cold})K_{con}} \right), \\ \delta T_h &= -\frac{q_h}{l \left(\frac{1}{j^n} + \frac{1}{j^p} \right)} \left(\frac{d_{ins}}{\kappa_{ins}(T_{hot})K_{ins}} + \frac{d_{con}}{\kappa_{con}(T_{hot})K_{con}} \right). \end{aligned} \right\}, \quad (6)$$

де K_{ins} , K_{con} – коефіцієнти заповнення керамічних і комутаційних пластин.

Вирази для потоків тепла q_h і q_c з урахуванням залежності електричного контактного опору від температури набудуть вигляд:

$$\left. \begin{aligned} q_h &= \sum_{n,p} \left[q^{n,p}(1) + \frac{j^{n,p}}{l} r_c(T_{hot}) \right] + q_{con}^h, \\ q_c &= \sum_{n,p} \left[q^{n,p}(0) + \frac{j^{n,p}}{l} r_c(T_{cold}) \right] - q_{con}^c. \end{aligned} \right\}, \quad (7)$$

де для знаходження питомого тепла Джоуля $q_{con}^{h,c}$, що виділяється в комутаційній пластині, використано вираз [12]:

$$q_{con}^h = \frac{2I^2 r_c(T_{hot})}{d_{con}} \left(K_{con} - \frac{2}{3} \right), \quad q_{con}^c = \frac{2I^2 r_c(T_{cold})}{d_{con}} \left(K_{con} - \frac{2}{3} \right). \quad (8)$$

Потоки тепла q_h і q_c залежать від питомої густини струму $j_{n,p}$. Задача полягає у визначенні таких значень густини струму $j_{n,p}$, за яких забезпечується мінімум функціоналу J . При цьому ККД термоелемента досягає найбільшого значення.

Теорія оптимального керування [13, 14] дає рішення поставленої задачі. Воно реалізується чисельним методом послідовних наближень і дає можливість знаходити оптимальну густину генерованого струму для забезпечення максимального ККД термоелектричного перетворювача енергії.

Вибором геометричних розмірів і числом термоелементів можуть бути досягнуті задана напруга і потужність термоелектричного генераторного модуля. Складність оптимізаційної задачі уможлиблює її розв'язування комп'ютерними методами.

Результати комп'ютерного проектування модулів з матеріалів на основі *InSe* – *PbTe*

Модулі з використанням *In₄Se₃*

Комп'ютерне проектування й оптимізація термоелектричних модулів *In₄Se₃* – *PbTe* здійснювалося з урахуванням температурних залежностей термоелектричних матеріалів, отриманих шляхом синтезу вихідних компонентів та методом гарячого пресування синтезованих матеріалів для інтервалу температур гарячої сторони 450-500 °С, холодної 30-90 °С.

За *p*-вітку термоелемента вибрано матеріал на основі *PbTe*, легований натрієм, оскільки в інтервалі температур 400-500°С добротність *PbTe* є досить високою (рис. 2). Слід зазначити, що вибір *PbTe* мотивований ще й добре відпрацьованою технологією отримання зразків. Проте це не виключає можливості використання у термоелементі інших середньотемпературних матеріалів *p*-типу провідності.

Експериментальні температурні залежності термоелектричних параметрів матеріалів на основі *InSe* і *PbTe* (рис. 2-5) отримано на автоматизованому обладнанні Алтек-10001, розробленому в Інституті термоелектрики [15].

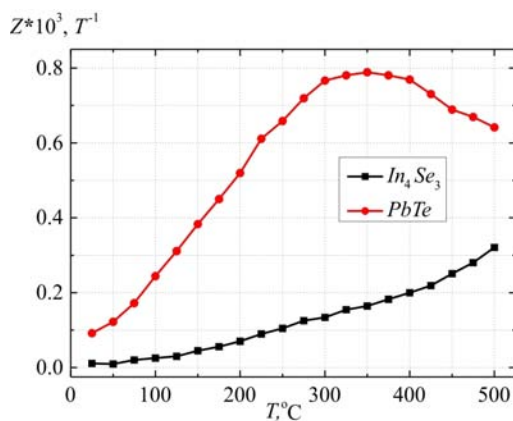


Рис. 2. Залежність добротності *n-In₄Se₃* і *p-PbTe* від температури.

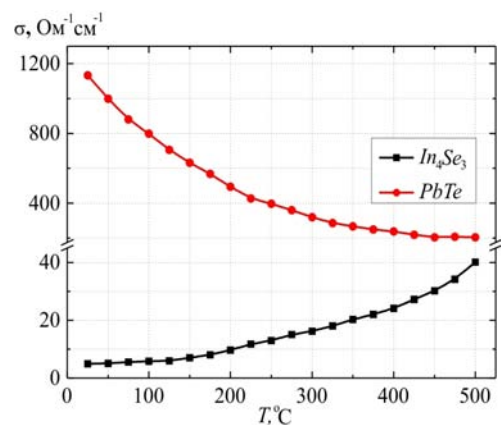


Рис. 3. Залежність електропровідності *n-In₄Se₃* і *p-PbTe* від температури.

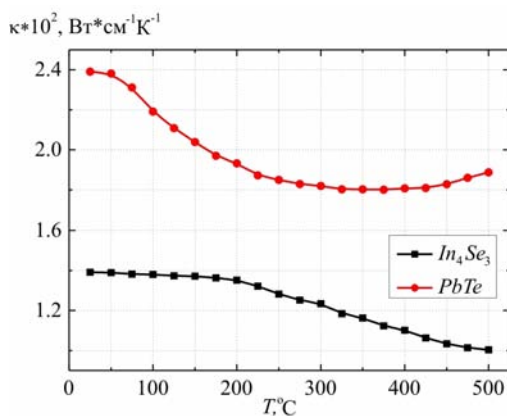


Рис. 4. Залежність теплопровідності *n-In₄Se₃* і *p-PbTe* від температури.

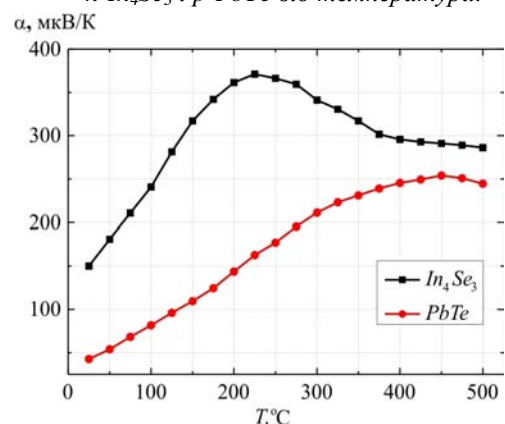


Рис. 5. Залежність коефіцієнта Зеєбека *n-In₄Se₃* і *p-PbTe* від температури.

Як видно з рис. 2, величина α для In_4Se_3 має досить високе значення й зі збільшенням температури проходить через максимум (370 мкВ/К) за температур 225-250 °С. За робочих температур модуля 400-500 °С значення α для In_4Se_3 мало змінюється й знаходиться на рівні 300 мкВ/К. Електропровідність $n\text{-In}_4\text{Se}_3$ при 20 °С дуже низька, зростає зі збільшенням температури й за 500°С досягає 40 Ом⁻¹см⁻¹. Теплопровідність $n\text{-In}_4\text{Se}_3$ навпаки зменшується з ростом температури й за 500 °С становить 1.0 Вт/см К. Розрахована термоелектрична добротність $n\text{-In}_4\text{Se}_3$ за 500 °С знаходиться на рівні 0.35·10⁻³ К⁻¹.

Коефіцієнт Зеєбека для $p\text{-PbTe}$ також досить високий і за 400-500°С знаходиться в межах 250-260 мкВ/К. Електропровідність $p\text{-PbTe}$ за цих температур становить 200-220 Ом⁻¹см⁻¹. Теплопровідність проходить через мінімум і за 500 °С досягає значення 1.9 Вт/см·К.

Електричну потужність модулів з описаних вище матеріалів ($p\text{-PbTe}$, $n\text{-In}_4\text{Se}_3$) залежно від площі поперечного перерізу віток для різних значень вихідної напруги показано на рис. 6.

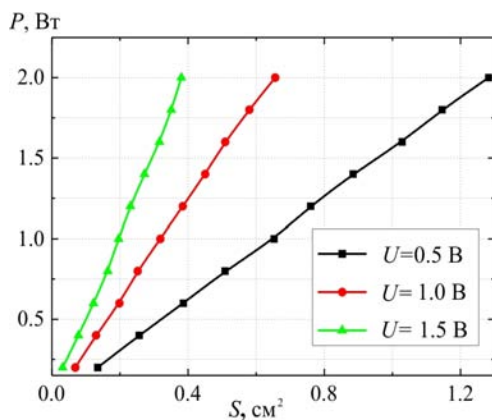


Рис.6. Залежність електричної потужності модуля з матеріалів $\text{In}_4\text{Se}_3\text{-PbTe}$ від площі поперечного перерізу віток для різних значень вихідної напруги $T_h=500^\circ\text{C}$, $T_c=30^\circ\text{C}$, $h=5.5$ мм.

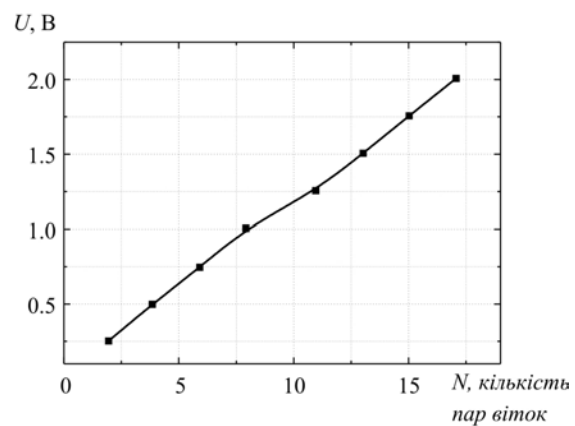


Рис.7. Залежність вихідної напруги модуля з матеріалів на основі $\text{In}_4\text{Se}_3\text{-PbTe}$ від кількості пар віток у модулі, $T_h=500^\circ\text{C}$, $T_c=30^\circ\text{C}$, $h=5.5$ мм.

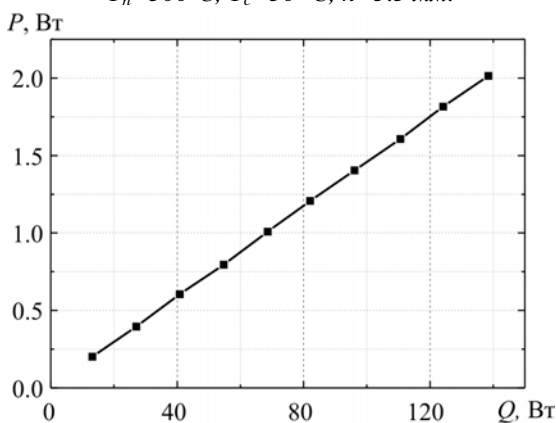


Рис.8. Оптимальний тепловий потік (Q) для одержання заданої електричної потужності (P) модуля з матеріалів на основі $\text{In}_4\text{Se}_3\text{-PbTe}$, $T_h=500^\circ\text{C}$, $T_c=30^\circ\text{C}$, $h=5.5$ мм.

За потужності модуля на рівні 1 Вт і напруг модуля 0.5 В; 1,0 В; 1.5 В площа поперечного перерізу вітки становить відповідно 68, 30 і 18 мм² (рис. 6). При цьому для одержання напруги на рівні 1 В в заданому інтервалі температур холодної й гарячої сторони необхідно 8 термоелементів (рис. 7). Відповідно для 2 В потрібно 16 термоелементів і т.д. Величини теплових потоків, необхідних для одержання заданих електричних потужностей, наведено на рис. 8. Видно, що для генерування 1 Вт електричної потужності тепловий потік на гарячій стороні модуля повинен становити 65-70 Вт.

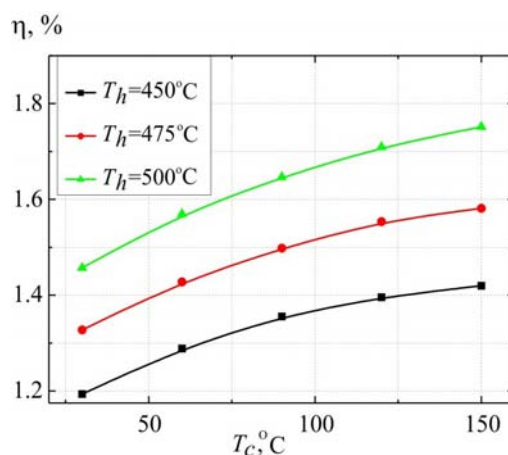


Рис.9. Залежність ККД модуля з $\text{In}_4\text{Se}_3 - \text{PbTe}$ від температури холодної сторони за різних температур гарячої сторони модуля.

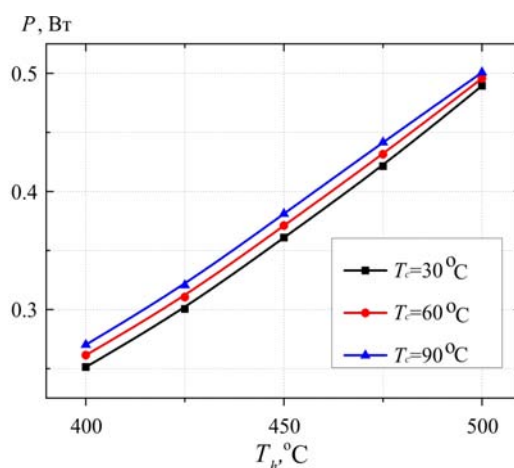


Рис.10. Залежність електричної потужності модуля з $\text{In}_4\text{Se}_3 - \text{PbTe}$ від температури гарячої сторони.

Нетипова залежність отримана при дослідженні впливу температури холодної сторони на ККД модуля. Як видно з рис. 9, зі збільшенням температури холодної сторони спостерігається зростання величини ККД. При цьому електрична потужність модуля, особливо за високих температур (~500 °C), дуже мало залежить від температури холодної сторони (рис. 10).

Така залежність обумовлена тим, що за низьких температур холодної сторони модуля спостерігається неузгодженість термоелектричних параметрів α , σ , κ зразків In_4Se_3 і PbTe . Тому термоелектричний матеріал на холодній стороні модуля працює в умовах, далеких від оптимальних. Зі збільшенням температури в зразках In_4Se_3 теплопровідність суттєво зменшується і приблизно на порядок зростає електропровідність (рис. 3, 4), що забезпечує більш високе значення Z за підвищених температур холодної сторони модуля. Залежність проходить через максимум, і подальше підвищення температури холодної сторони (у даному випадку більше 160 °C) знижує ККД.

Модулі з використанням інших сполук на основі InSe

Як видно з наведених результатів досліджень, ККД модуля з матеріалів на основі InSe-PbTe (рис. 2-5) є досить низьким порівняно з іншими модулями, що традиційно використовуються в

середньотемпературному діапазоні [16]. Один із способів покращення ефективності такого модуля – підвищення термоелектричної добротності In_4Se_3 шляхом оптимізації складу і використання ефективних легуючих домішок. Зокрема в роботі [17] показано, що для монокристалу $In_4Se_{2.35}$, вирощеного методом Бріджмена, максимальне значення ZT становить 1.48 за температури 432 °С. У [18] легуванням Cl підвищено добротність до 1.53, в [19] введенням Pb і Sn – до 1.4 при 427°С. Використовуючи термоелектричні параметри сполук In_4Se_3 наведені в роботах [17 – 19] (рис. 11) як вихідні дані, авторами цієї статті методом оптимального керування розраховано ККД модулів (рис. 12), де *p*-віткою є *PbTe*, *n*-віткою – $In_4Se_{2.35}$, $In_4Se_{2.67}Cl_{0.03}$ та $In_4Pb_{0.01}Sn_{0.04}Se_3$.

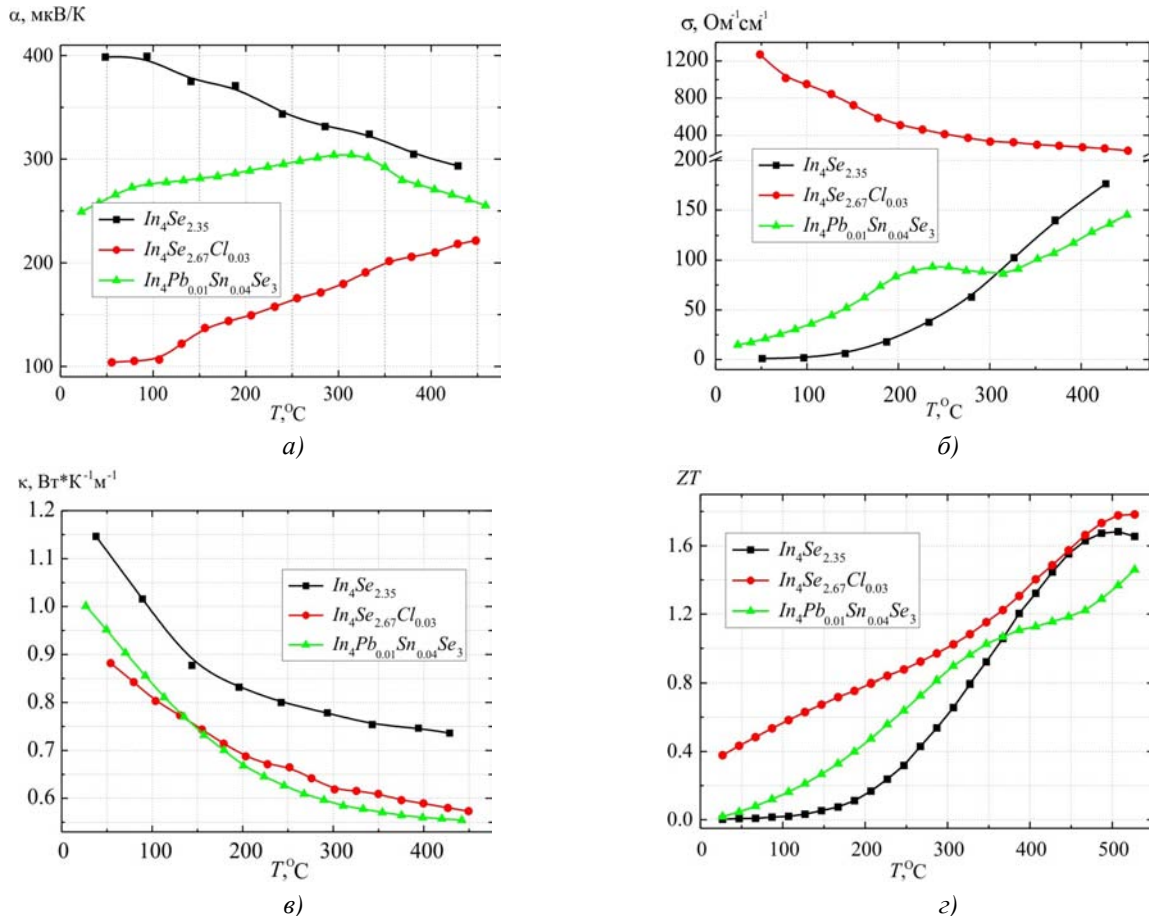


Рис. 11. Температурні залежності коефіцієнту термоЕРС (а), електропровідності (б), теплопровідності (в) та добротності (з) матеріалів на основі In_4Se_3 [17 – 19].

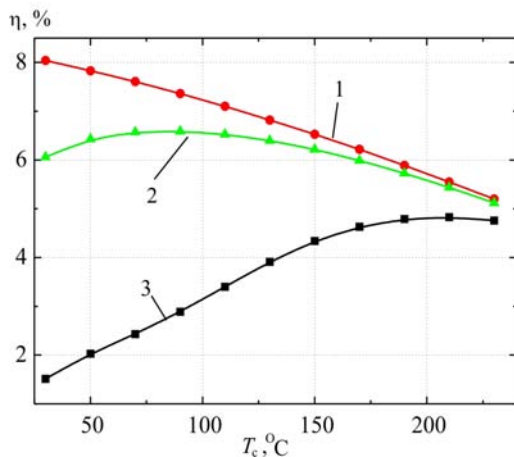


Рис. 12. Залежність ККД термоелектричних модулів з матеріалів: 1 – *p-PbTe* – *n-In₄Se_{2.67}Cl_{0.03}*, 2 – *p-PbTe* – *n-In₄Se_{2.32}I_{0.03}*, 3 – *p-PbTe* – *n-In₄Se_{2.35}* від температури холодної сторони. Температура гарячої сторони 500 °С.

Максимальний ККД $\eta=8\%$ за постійної температури гарячої сторони і змінних холодної показав модуль з p - $PbTe$ і n - $In_4Se_{2.67}Cl_{0.03}$ (рис. 12). Для модуля, де за n -вітку використано In_4Se_3 легований Pb і Sn , максимум ККД зміщений у сторону вищих температур і становить $\sim 6.6\%$ за $T_c=90^\circ C$. Це зумовлено неузгодженістю термоелектричних параметрів (в основному σ) матеріалів $PbTe$ та $In_4Pb_{0.01}Sn_{0.04}Se_3$ (рис. 11 б). Подальше зниження η до 5.1% спричинене зменшенням робочого перепаду температур, навіть незважаючи на те, що добротність $In_4Pb_{0.01}Sn_{0.04}Se_3$ зростає (рис. 11 з).

Нетипова залежність отримана під час дослідження ККД модуля з p - $PbTe$ і n - $In_4Se_{2.35}$ від зміни температури холодної сторони (рис. 12). Збільшення T_c призводить до підвищення ККД, що досягає свого максимуму 4.83% за температури $210^\circ C$. Така залежність η зумовлена неоптимальними режимами роботи матеріалу на холодній стороні і низькими значеннями добротності матеріалу $In_4Se_{2.35}$ в області низьких температур (рис. 11 з).

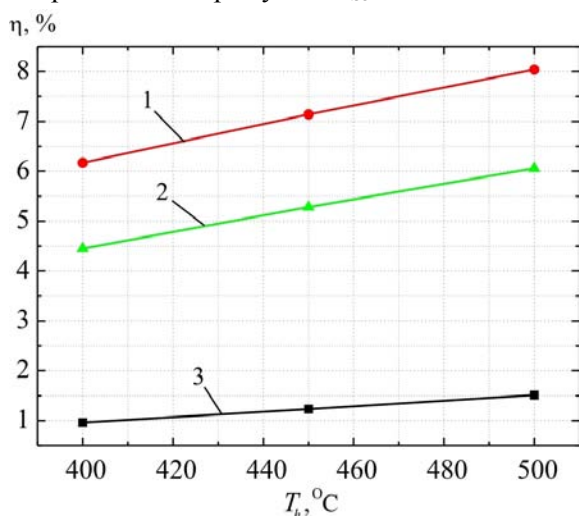


Рис. 13. Залежність ККД термоелектричних модулів з матеріалів: 1 – p - $PbTe$ – n - $In_4Se_{2.67}Cl_{0.03}$, 2 – p - $PbTe$ – n - $In_4Se_{2.32}I_{0.03}$, 3 – p - $PbTe$ – n - $In_4Se_{2.35}$ від температури гарячої сторони. Температура холодної сторони $30^\circ C$

На рис. 13 наведено залежність ККД термоелектричних модулів на основі $PbTe$ і сполук $InSe$ від температури гарячої сторони.

Як видно, за збільшенням температури гарячої сторони ККД модуля збільшується і досягає рівня 8% і 6% для $PbTe$ - $In_4Se_{2.67}Cl_{0.03}$ та $PbTe$ - $In_4Pb_{0.01}Sn_{0.04}Se_3$ відповідно. При температурі холодної сторони $30^\circ C$ максимальне ККД для модуля p - $PbTe$ – n - $In_4Se_{2.35}$ становить 1.5% , що робить неефективним використання цього матеріалу в парі з p - $PbTe$ у традиційних генераторних модулях.

Результати експериментальних досліджень модулів на основі In_4Se_3 – $PbTe$

На основі проведених розрахунків розроблено низку варіантів конструкцій термоелектричних модулів із матеріалів p - $PbTe$ і n - In_4Se_3 електричною потужністю 0.5 - 5 Вт (табл. 1).

Електрична комутація віток $PbTe$ і In_4Se_3 здійснювалась срібними пластинами методом дифузійного зварювання. За антидифузійні шари для $PbTe$ і In_4Se_3 використано Co і Fe , за перехідні шари для $PbTe$ суміш Co - Te і $PbTe$, а для In_4Se_3 суміш Co - Te і In_4Se_3 [20].

Для модулів потужністю 0.5 Вт кількість віток збільшували від 4 до 50 , при цьому поперечний переріз вітки відповідно зменшувався від 5.6×5.6 мм до 1.5×1.5 мм. Габаритні розміри модуля знаходились у межах від 11.7×19.7 до 14.2×23.3 мм. Для модулів потужністю 5 Вт поперечний переріз віток необхідно збільшувати за їх незмінної висоти. Максимальні габарити модуля потужністю 5 Вт і напругою 5.6 В склали $50 \times 65 \times 7.8$ мм.

Таблиця 1

Геометричні та електричні параметри модулів на основі *PbTe - In₄Se₃*
 за послідовного з'єднання віток ($T_2 = 500^\circ\text{C}$, $T_x = 30^\circ\text{C}$)

Електрична потужність, Вт	Електрична напруга, В	Тепловий потік, Вт	Переріз вітки, мм ²	Кількість пар віток	Габаритні розміри, мм
0.5	0.5	34.2	5.6×5.6	4	11.7×19.7×7.8
	1.0		4×4	8	17.5×25.5×7.8
	5.6		1.5×1.5	50	19.5×27.5×7.8
	3.2		1.6×1.6	28	14.2×23.3×6.3
3	0.5	205.4	13.8×13.8	4	28.1×36.1×7.8
	1		9.8×9.8	8	40.7×48.7×7.8
	8.8		3.1×3.1	78	46.3×50.7×7.8
	1		7.2×7.2	8	30.3×38.3×6.3
	5.6		2.9×2.9	50	33.5×41.5×6.3
5	3.2	342.4	6.7×6.7	28	49.9×65.1×7.8
	5.6		3.7×3.7	50	41.5×49.5×6.3

Використання дешевих термоелектричних матеріалів і простої технології зумовлює перспективу широкого використання модулів на основі – *InSe-PbTe* для термоелектричних перетворювачів енергії на рівень робочих температур 30-500°C.

Висновки

- 1.3 використанням методів теорії оптимального керування здійснено комп'ютерне проектування та визначено ефективність генераторних модулів з матеріалів на основі *n-InSe-p-PbTe* у діапазоні температур 30 – 500°C. Показано, що максимальна ефективність термоелектричних модулів становить 8% для *p-PbTe-n-In₄Se_{2.67}Cl_{0.03}* і 6.6% для *p-PbTe-n-In₄Pb_{0.01}Sn_{0.04}Se₃*.
2. Вперше створено термоелектричний генераторний модуль на основі *n-In₄Se₃-p-PbTe* для діапазону робочих температур 30-500°C та експериментально підтверджено результати теоретичних розрахунків.
3. Термоелектричні модулі з матеріалів на основі *n-InSe-p-PbTe* і *n-PbTe* та *p-GeTe-AgSbTe* характеризуються близькими значеннями ефективності. Однак модулі з *n-InSe-p-PbTe* мають нижчу собівартість, що надає їм перевагу для використання у середньотемпературному діапазоні.

Література

1. Z.H. Dughaish. Lead telluride as a thermoelectric material for thermoelectric power generation // Physica

- В, 322, pp. 205-223 (2002).
2. E.A. Skrabek, D.S. Trimmer. Properties of the general TAGS system. // in CRC Handbook of Thermoelectrics, Eds. D.M. Rowe, pp.267-275, CRC Press, Boca Raton, FL (1995).
 3. Струтинська Л.Т. Проектування секційних модулів на основі *PbTe/TAGS* для термоелектричних генераторів. / Л.Т. Струтинська, В.Р. Білінський-Слотило, В.Я. Михайловський // Фізика і хімія твердого тіла.-2012.- №4.-Т13.-С.1032-1036.
 4. Mineral commodity summaries 2012 / U.S. Geological Survey. Reston: Virginia, 2012. 198 p.
 5. Singh D.J. Electronic Transport in Old and New Thermoelectric Materials / D.J. Singh // Science of Advanced Materials. Vol.3. 2011. P.561-570.
 6. High-performance nanostructured thermoelectric materials / J.-F. Li, W.-Sh. Liu [etc] // NPG Asia Mater. Vol.2, No.4. 2010. P.152-158.
 7. Tritt T.M. Thermoelectric Phenomena, Materials, and Applications / T.M. Tritt // Annual Review of Materials Research. Vol.41. 2011. P.433-448.
 8. Snyder G.J. Complex thermoelectric materials / G.J. Snyder, E.s. Toberer // Nature Materials. Vol.7. 2008. P.105-114.
 9. Ju-Hyuk Yim et al. / Thermoelectric properties of indium-selenium nanocomposites prepared by mechanical alloying and spark plasma sintering // Journal of Electronic Materials.-2012.-Vol. 41.-№ 6.- P.1354-1359.
 10. <http://www.infogeo.ru/metalls/worldprice/>.
 11. Анатичук Л.И. Компьютерное проектирование каскадных модулей для генераторов / Л.И. Анатичук, Л.Н. Вихор // Термоэлектричество. – 2002. – №4. – С. 19 – 27.
 12. Анатичук Л.И. Оптимальное управление свойствами термоэлектрических материалов и приборов. – / Л.И. Анатичук, В.А. Семенюк // Черновцы: Прут, 1992. – 264 с.
 13. Вихор Л.Н. Компьютерное проектирование термоэлектрических генераторных модулей / Л.Н. Вихор // Термоэлектричество. – 2005. – №2. – С. 62-70.
 14. Анатичук Л. И., Термоэлементы и термоэлектрические устройства. Справочник. – / Л.И. Анатичук // К.: Наукова думка, 1979. – 766 с.
 15. Анатичук Л.И. Установка для вимірювання властивостей напівпровідникового термоелектричного матеріалу/ Л.И. Анатичук, М.В. Гаврилук, В.В. Лисько // Термоелектрика. – 2010, №3. С. 41-49.
 16. Вихор Л.М. Оптимізація матеріалів та оцінка характеристик генераторних модулів для рекуператорів тепла / Л.М. Вихор, В.Я. Михайловський, Р.М. Мочернюк // Фізика і хімія твердого тіла.-2014.- №1.-Т15.-С.206-213.
 17. J.-S.Rhyee, K.H.Lee, S.M.Lee, E.Cho, S.I.Kim, E.Lee, Y.S. Kwon, J.H.Shim, G.Kotliar. Peierls distortion as a route to high thermoelectric performance in $In_4Se_{3-\delta}$ crystals.– Nature2009, 459, 965.
 18. J.-S.Rhyee, K.Ahn, K.H.Lee, H.S.Ji, J.-H.Shim. Enhancement of the thermoelectric figure-of-merit in a wide temperature range in $In_4Se_{3-x}Cl_{0.03}$ bulkcrystals. –Adv. Mater. 2011, 23, 2191.
 19. Z.-S.Lin, L.Chen, L.-M.Wang, J.-T.Zhao, L.-M.Wu. A promising mid-temperature thermoelectric material candidate: *Pb/Sn*-codoped $In_4Pb_xSn_ySe_3$. – Adv. Mater. 2013, 25, 4800.
 20. Патент (UA) № 79960 МПК H01L 35/00 Спосіб виготовлення термоелектричного елемента, що містить *n-In₄Se₃* / Михайловський В.Я., Мочернюк Р.М., Kim Sang Il, Lee Kyuhyoung – Опубл. 13.05.2013, бюл.№9 Заявка u2012 12353 від 29.10.12.

Надійшла до редакції 19.12.2014